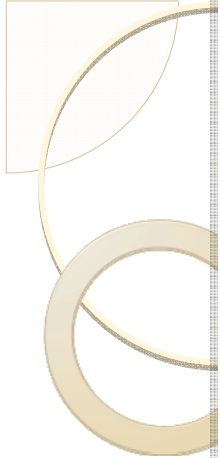


# 固気混相流体の数値計算

佐波瑞恵, 齊藤務  
室蘭工業大学 機械システム工学科

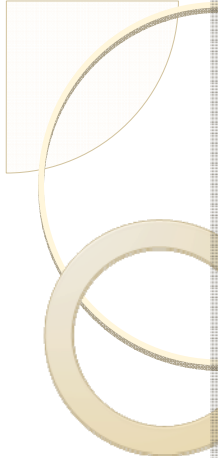
火山シミュレーション研究集会  
東京大学地震研究所 2007.11.29(Thu.)



# 目次

- 目的
- モデル
- 計算方法
- テスト計算結果
- まとめ





## 目的

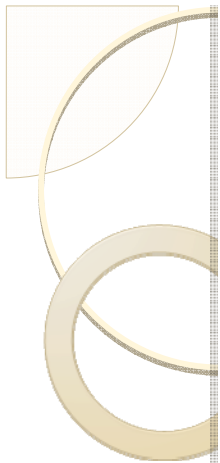
- 固気混相流体数値計算コードを開発, 爆発的火山噴火に適用する.

固気混相流体 = 固体粒子 + 2種混合気体

空間 3 次元 + 時間 大規模計算

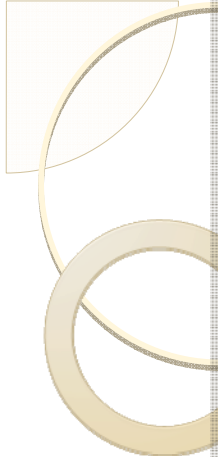


数値計算による噴出, 流動,  
固体粒子の堆積研究



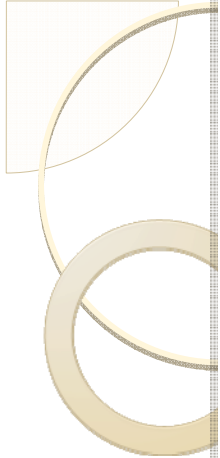
# 火山碎屑物, 火山ガス

- 固体粒子=火山碎屑物
- 噴出気体=火山ガス
- 周囲気体=大気



# 固体粒子－気体の捉え方

- 固体粒子の運動が主体  
　　気体は抵抗力として表現され,  
　　気体そのものの運動は記述しない
- 固体粒子と噴出気体の運動は平衡状態  
　　固体粒子 + 気体 = 高密度流体
- 固体粒子と気体の双方の運動と  
　　それらの相互作用を考慮する

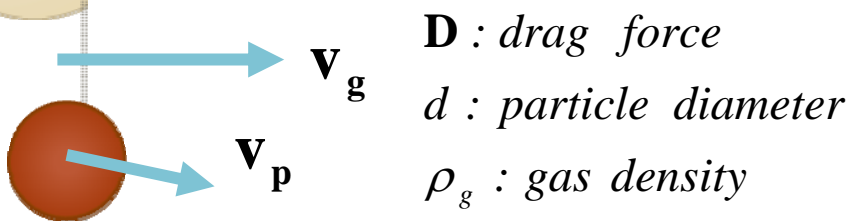


# モデル～固体粒子

- 球状
  - 実際の火碎物は球ではない。形状を考慮する場合には、抵抗係数に反映させる。
- 均質
  - 実際の火碎物には空隙があるが、ないもとする。
- 不活性
  - 化学反応せず、粒子自身は推進力をもたない。
- 連續体
- 粒子の占める総体積は、気体に比べて非常に小さく、無視する。
- 粒子同士は衝突しない。
- 粒子の運動は気体の圧力に影響しない。
- 粒子の熱運動は無視する。

# 固体粒子 ⇄ 気体

**力**  $\mathbf{D} = \frac{1}{8} \pi d^2 \rho_g (\mathbf{v}_g - \mathbf{v}_p) |\mathbf{v}_g - \mathbf{v}_p| C_d$



$\mathbf{D}$  : drag force

$d$  : particle diameter

$\rho_g$  : gas density

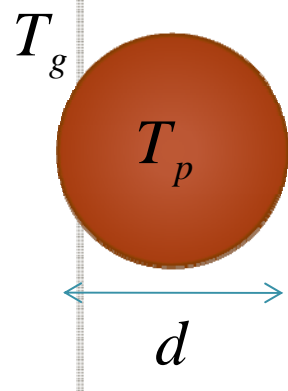
$\mathbf{v}_g$  : gas velocity

$\mathbf{v}_p$  : particle velocity

$C_d$  : drag coefficient  $C_d = C_d(Re)$

$$Re : Reynolds number \quad Re = \frac{\rho_g d |\mathbf{v}_g - \mathbf{v}_p|}{\mu}$$

**熱伝導**  $Q = \frac{\pi d \mu C_p}{Pr} (T_g - T_p) Nu$



$Q$  : heat transfer per single particle

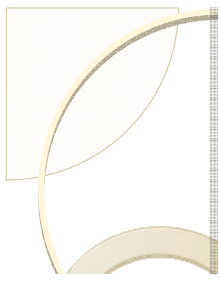
$\mu$  : viscosity coefficient  $Nu$  : Nusselt number  $Nu = Nu(Pr, Re)$

$T_g$  : temperature of gas  $Pr$  : Prandtl number

$T_p$  : temperature of particle

$C_p$  : specific heat of the gas at constant pressure

$$\mathbf{I} = \frac{\rho_p}{m} \begin{pmatrix} 0 \\ \mathbf{D} \\ Q + \mathbf{v}_g \cdot \mathbf{D} \end{pmatrix}$$



# 气体

$$\nabla_t \mathbf{U}_g + \nabla \cdot \mathbf{F}_g = \mathbf{G}_g - \mathbf{I}$$

$$\mathbf{U}_g = \begin{pmatrix} \rho_g \\ \rho_g u_g \\ \rho_g v_g \\ \rho_g w_g \\ E \end{pmatrix}, \mathbf{F}_g = \begin{pmatrix} \mathbf{F}_{gx} \\ \mathbf{F}_{gy} \\ \mathbf{F}_{gz} \end{pmatrix}, \mathbf{F}_{gx} = \begin{pmatrix} \rho_g u_g \\ \rho_g u_g^2 + p \\ \rho_g u_g v_g \\ \rho_g u_g w_g \\ (E + p)u_g \end{pmatrix}, \mathbf{F}_{gy} = \begin{pmatrix} \rho_g v_g \\ \rho_g u_g v_g \\ \rho_g u_g^2 + p \\ \rho_g v_g w_g \\ (E + p)v_g \end{pmatrix}, \mathbf{F}_{gz} = \begin{pmatrix} \rho_g w_g \\ \rho_g u_g w_g \\ \rho_g v_g w_g \\ \rho_g w_g^2 + p \\ (E + p)w_g \end{pmatrix}$$

$$\mathbf{G}_g = -(\rho_g - \rho_{g\_out}) \begin{pmatrix} 0 \\ 0 \\ 0 \\ g \\ w_g g \end{pmatrix}$$

$\rho_g$  : gas density  
 $\mathbf{v}_g$  : gas velocity  $\mathbf{v}_g = (u_g, v_g, w_g)$   
 $p$  : pressure  
 $E_g$  : total gas energy per unit volume  $E_g = \rho_g \left\{ C_v T_g + \frac{1}{2} \mathbf{v}_g \cdot \mathbf{v}_g \right\}$

$$\mathbf{I} = \frac{\rho_p}{m} \begin{pmatrix} 0 \\ D_x \\ D_y \\ D_z \\ Q + \mathbf{v} \cdot \mathbf{D} \end{pmatrix}$$

$T_g$  : temperature of gas  
 $C_v$  : specific heat of gas at constant volume  
 $\rho_p$  : mass concentration of particles  
 $m$  : mass of single particle  $\mathbf{D}$  : drag force  $\mathbf{D} = (D_x, D_y, D_z)$   
 $g$  : gravity acceleration  $Q$  : heat transfer per single particle



# 固体粒子

$$\nabla_t \mathbf{U}_p + \nabla \cdot \mathbb{F}_p = \mathbf{G}_p + \mathbf{I}$$

$$\mathbf{U}_p = \begin{pmatrix} \rho_p \\ \rho_p u_p \\ \rho_p v_p \\ \rho_p w_p \\ E_p \end{pmatrix}, \mathbb{F}_p = \begin{pmatrix} \mathbf{F}_{px} \\ \mathbf{F}_{py} \\ \mathbf{F}_{pz} \end{pmatrix}, \mathbf{F}_{px} = \begin{pmatrix} \rho_p u_p \\ \rho_p u_p^2 \\ \rho_p u_p v_p \\ \rho_p u_p w_p \\ E_p u_p \end{pmatrix}, \mathbf{F}_{py} = \begin{pmatrix} \rho_p v_p \\ \rho_p u_p v_p \\ \rho_p v_p^2 \\ \rho_p v_p w_p \\ E_p v_p \end{pmatrix}, \mathbf{F}_{pz} = \begin{pmatrix} \rho_p w_p \\ \rho_p u_p w_p \\ \rho_p v_p w_p \\ \rho_p w_p^2 \\ E_p w_p \end{pmatrix}$$

$$\mathbf{G}_p = -\rho_p \begin{pmatrix} 0 \\ 0 \\ 0 \\ g \\ w_p g \end{pmatrix} \quad \begin{aligned} \rho_p &: mass concentration of particles \\ \mathbf{v}_p &: velocity of particles \quad \mathbf{v}_p = (u_p, v_p, w_p) \end{aligned}$$

$$E_p : total energy per unit volume \quad E_p = \rho_p \left\{ C_m T_p + \frac{1}{2} \mathbf{v}_p \cdot \mathbf{v}_p \right\}$$

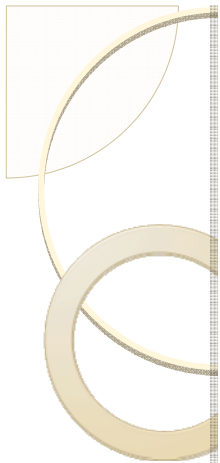
$T_p$  : temperature of particles

$C_m$  : specific heat of particle materials

$m$  : mass of single particle

$g$  : gravity acceleration

$$\mathbf{I} = \frac{\rho_p}{m} \begin{pmatrix} 0 \\ D_x \\ D_y \\ D_z \\ Q + \mathbf{v} \cdot \mathbf{D} \end{pmatrix} \quad \begin{aligned} \mathbf{D} &: drag force \quad \mathbf{D} = (D_x, D_y, D_z) \\ Q &: heat transfer per single particle \end{aligned}$$



# 規格化

$$u_{ref} = \frac{a_{f,ref}}{\sqrt{\gamma}} = \sqrt{\frac{p_{ref}}{\rho_{ref}}}$$

$$l = \frac{8m}{\pi \rho_{ref} d^2} = \frac{4}{3} \frac{\rho_p}{\rho_{ref}} d$$

$$\tau = \frac{l}{u_{ref}}$$

$a_{f,ref}$  : frozen sound speed of ambient air

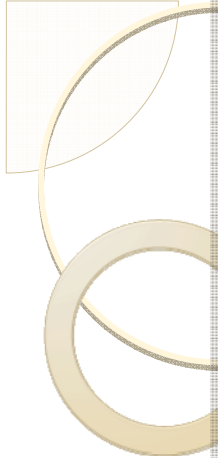
$\gamma$  : specific heat ratio

$p_{ref}$  : pressure of reference state

$\rho_{ref}$  : density of reference state

$m$  : mass of single particle

$d$  : diameter of particle



# 数值解法

## 3. $dt$ の決定

- CFL条件

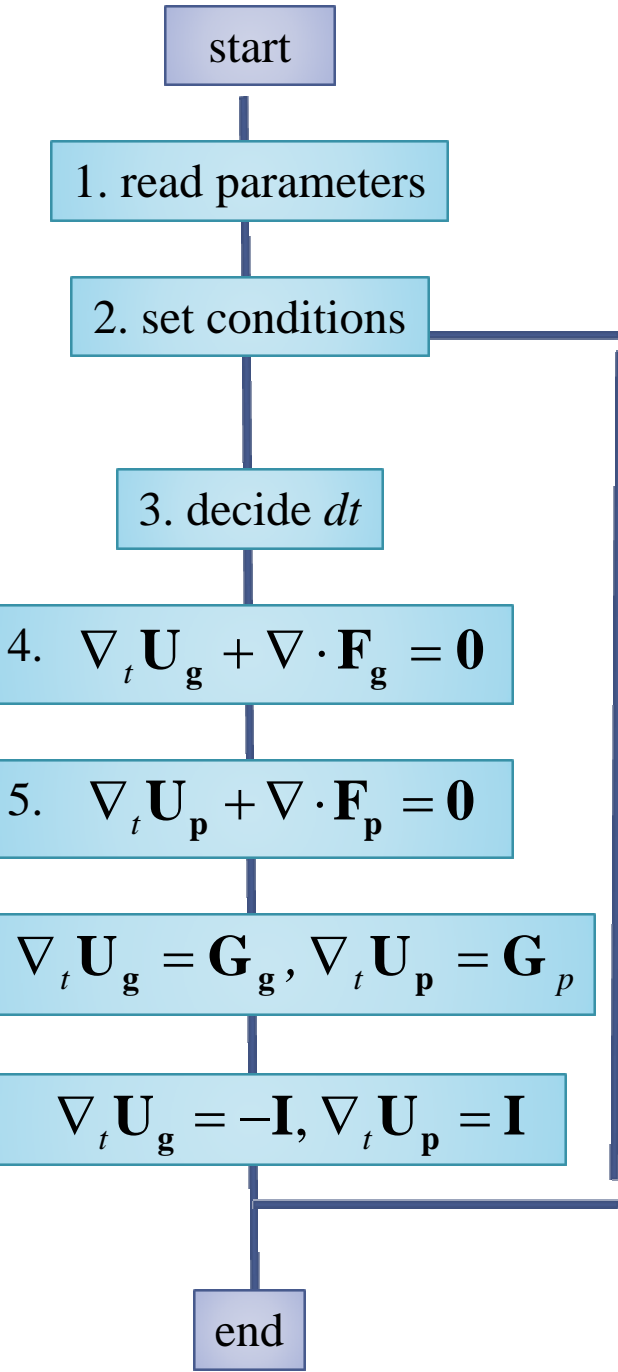
$$\text{固体粒子 } dt_p = dx/v_{pmax}$$

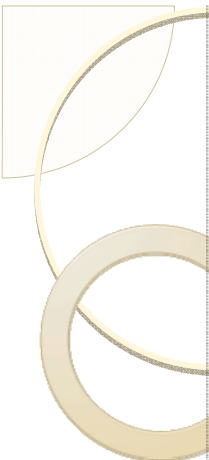
$$\text{気体 } dt_g = dx/(v_{gmax} + c)$$

$$dt = cfl * \min(dt_p, dt_g)$$

$$cfl = 0.1$$

- $1 \leq n \leq 100 \quad dt_n = dt / (101 - n)$
- $dt_{n+1} \leq 1.2 * dt_n$





# 数值解法

衝撃波面においても  
保存則が成立し, かつ,  
安定解が求められる工夫

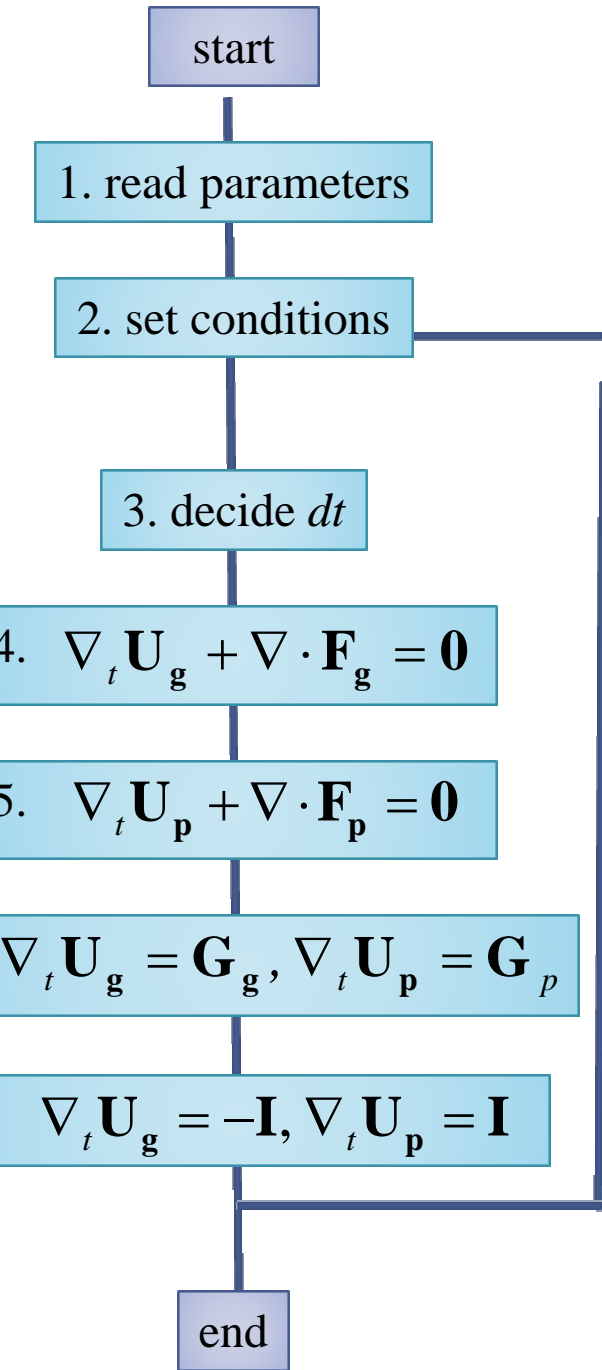
## 4. 高次精度Godunov型WAF法 数值流束

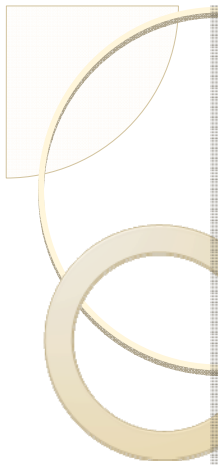
## HLLC近似Riemann解法

5.Miura et al.(1987)

## 7. 四次Runge-Kutta法

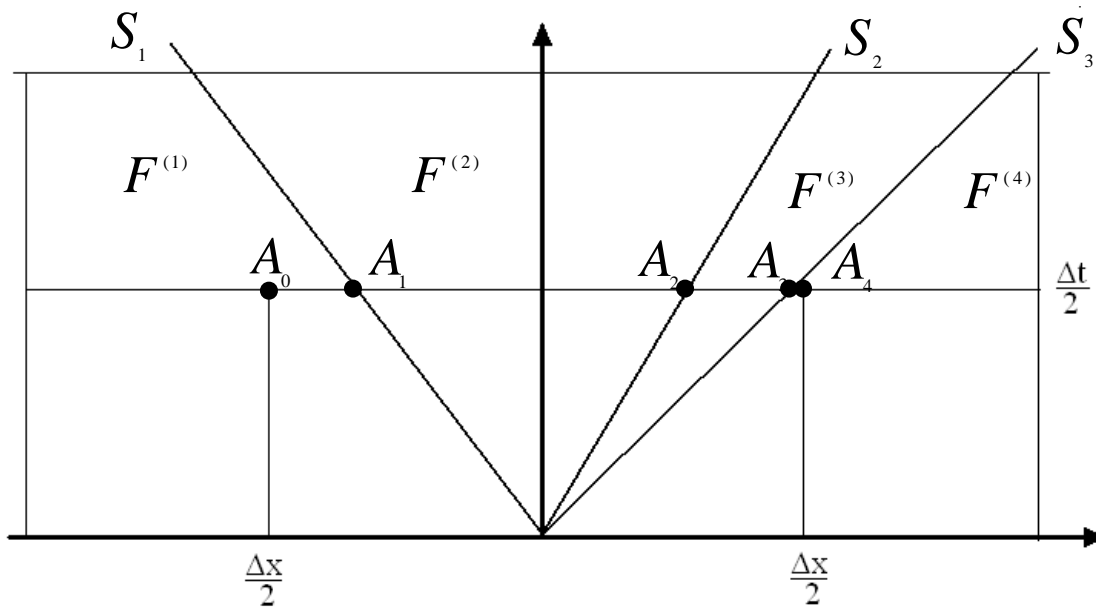
# 一次元Riemann問題を xyz方向で解き、動作確認



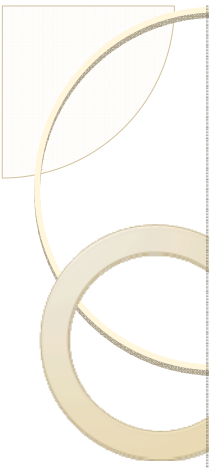


# Weighted Average Flux method

流束の重み付平均化計算手法

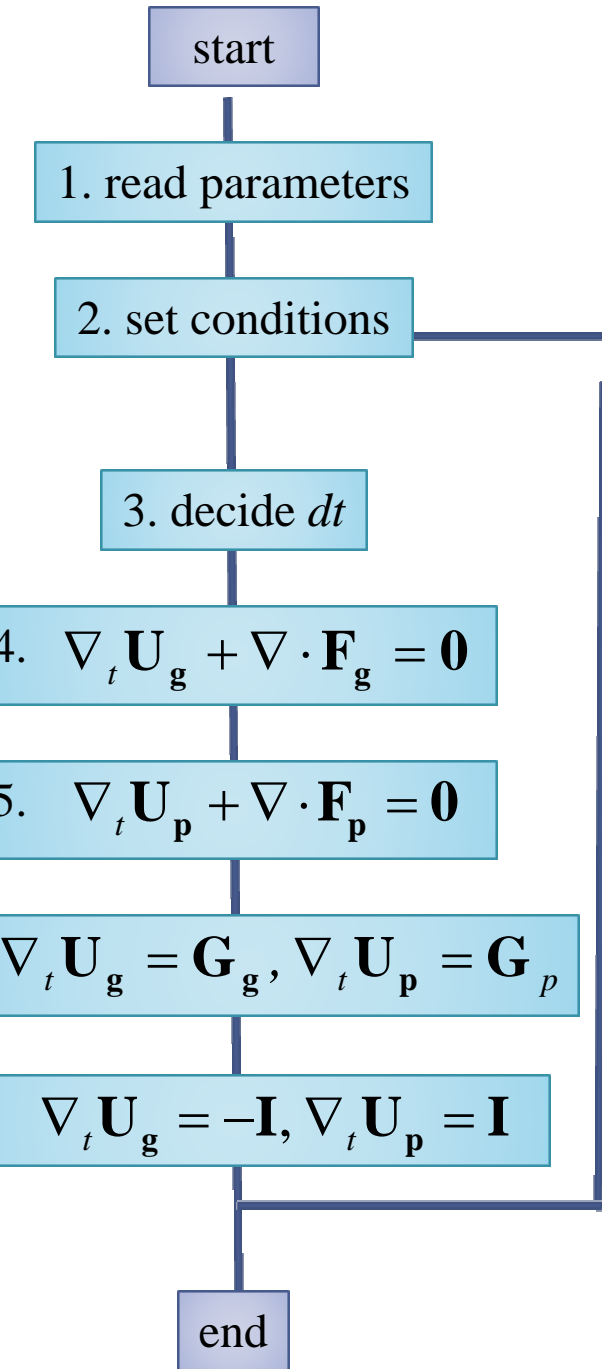
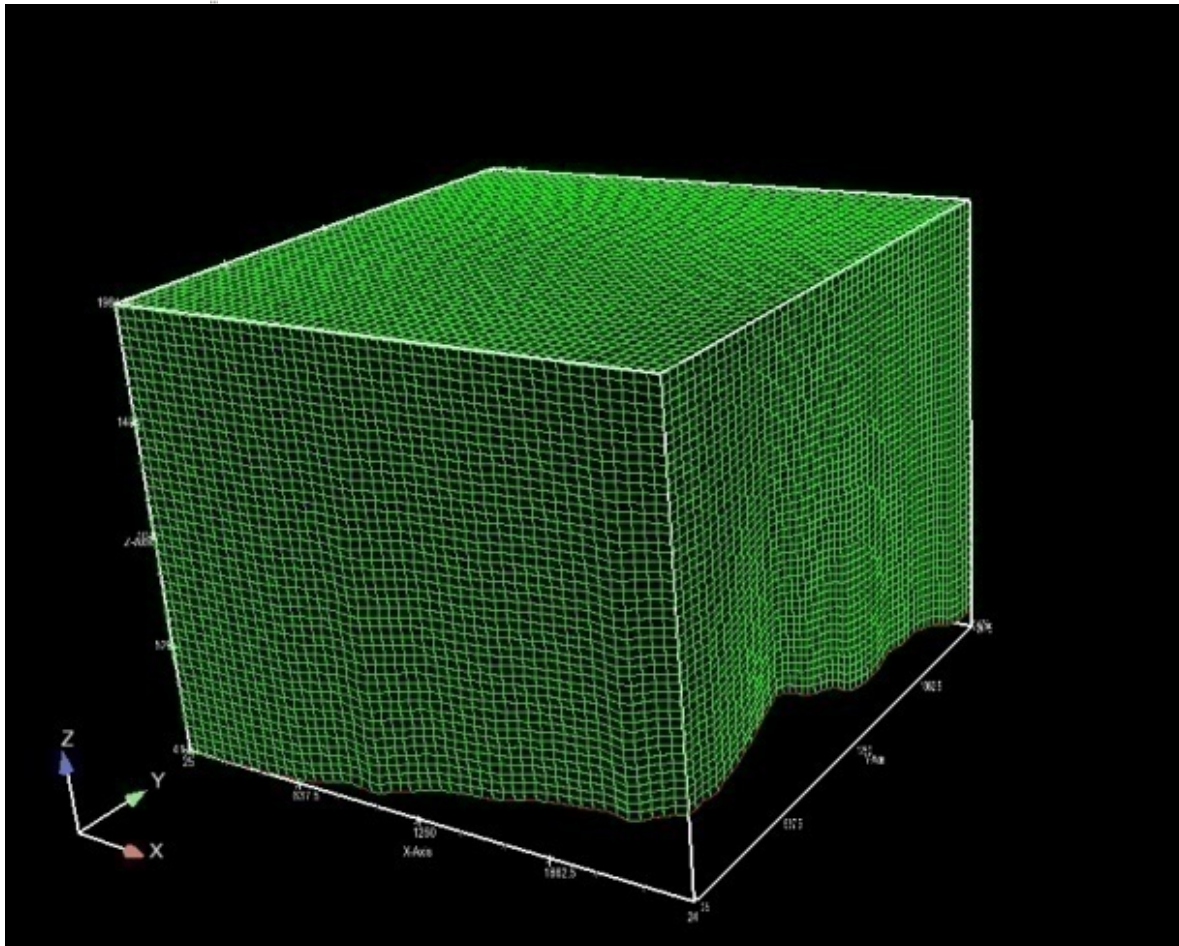


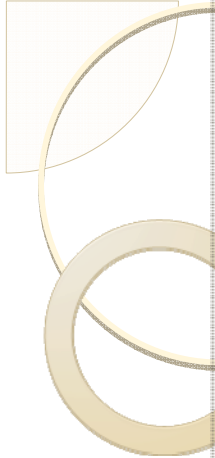
$$F = \frac{A_1 - A_0}{\Delta x} F^{(1)} + \frac{A_2 - A_1}{\Delta x} F^{(2)} + \frac{A_3 - A_2}{\Delta x} F^{(3)} + \frac{A_4 - A_3}{\Delta x} F^{(4)}$$



# 地形

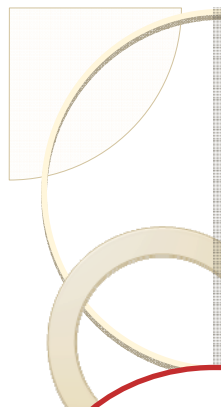
- ・ 国土地理院標高メッシュデータに基づく非直交格子





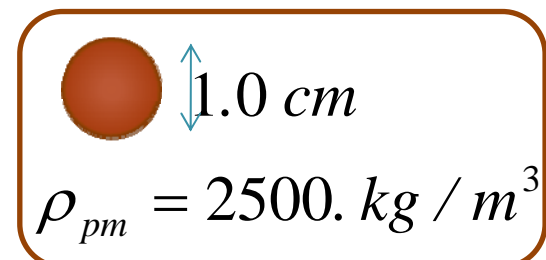
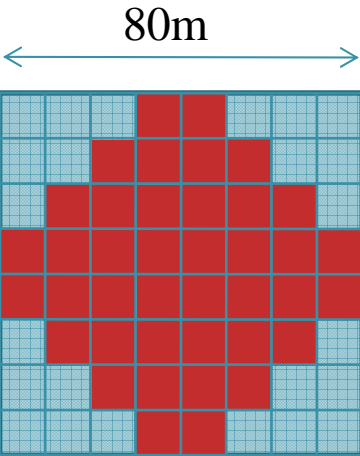
# 計算安定のための工夫

- 固体粒子密度が希薄な場
  - 周囲気体  $\rho_p = \rho_{pout} = 1.0e-6$
  - 相互作用しない
- $dt$ が急激に変化するとき  $\rho_p \leq 0$ 
  - $\rho_p = \rho_{pout}$ ,  $v_p = 0$ ,  $T_p = T_g$
  - $dt = const$ で回避可能 (?)
- 噴出口近傍
  - $n_z = 1$      $w_g = w_{gin}$ ,     $w_p = w_{pin}$



## 設定

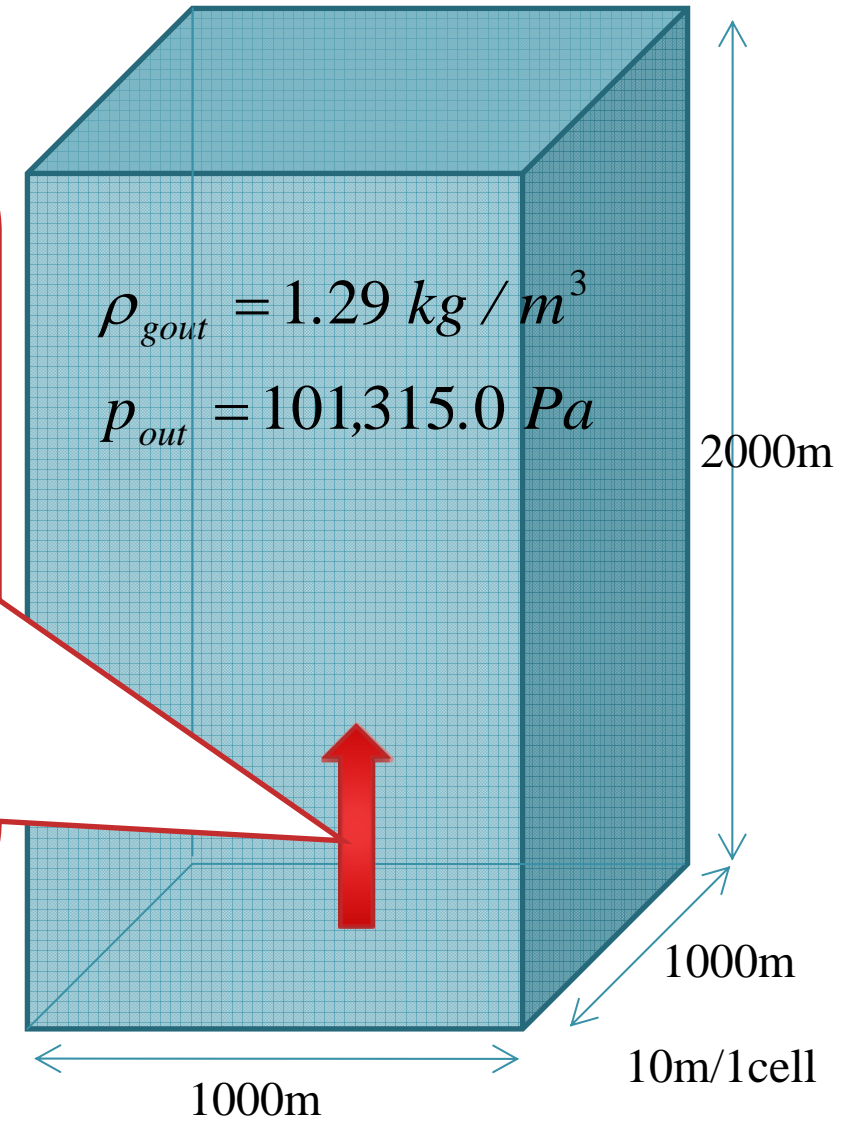
Case1. 100m/s Case2. 200m/s

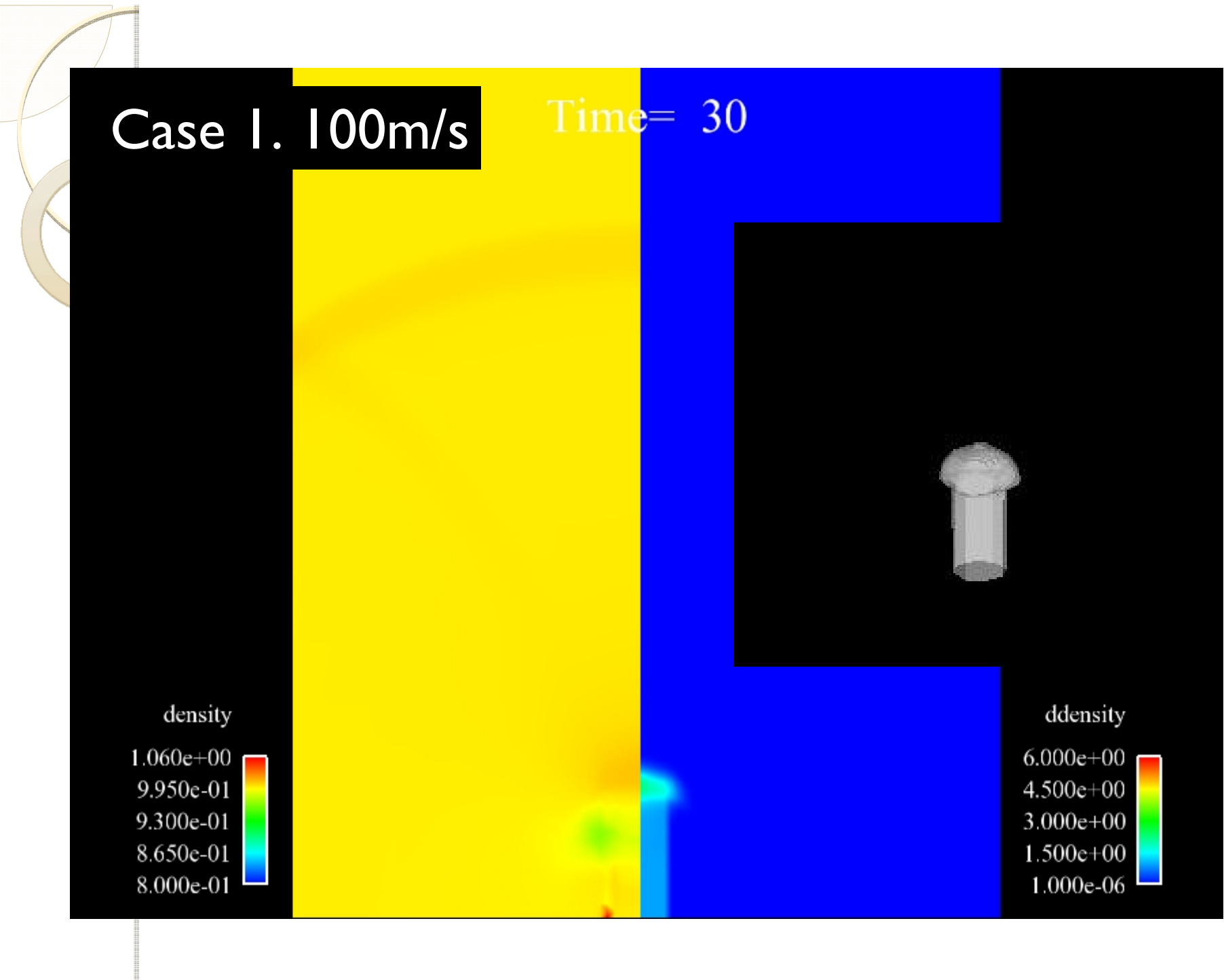


$$\rho_{gin} = \rho_{gout}, \quad p_{in} = p_{out}$$

$$\rho_{pin} = \rho_{gin}, \quad C_m = C_v$$

$$w_{gin} = w_{pin}$$

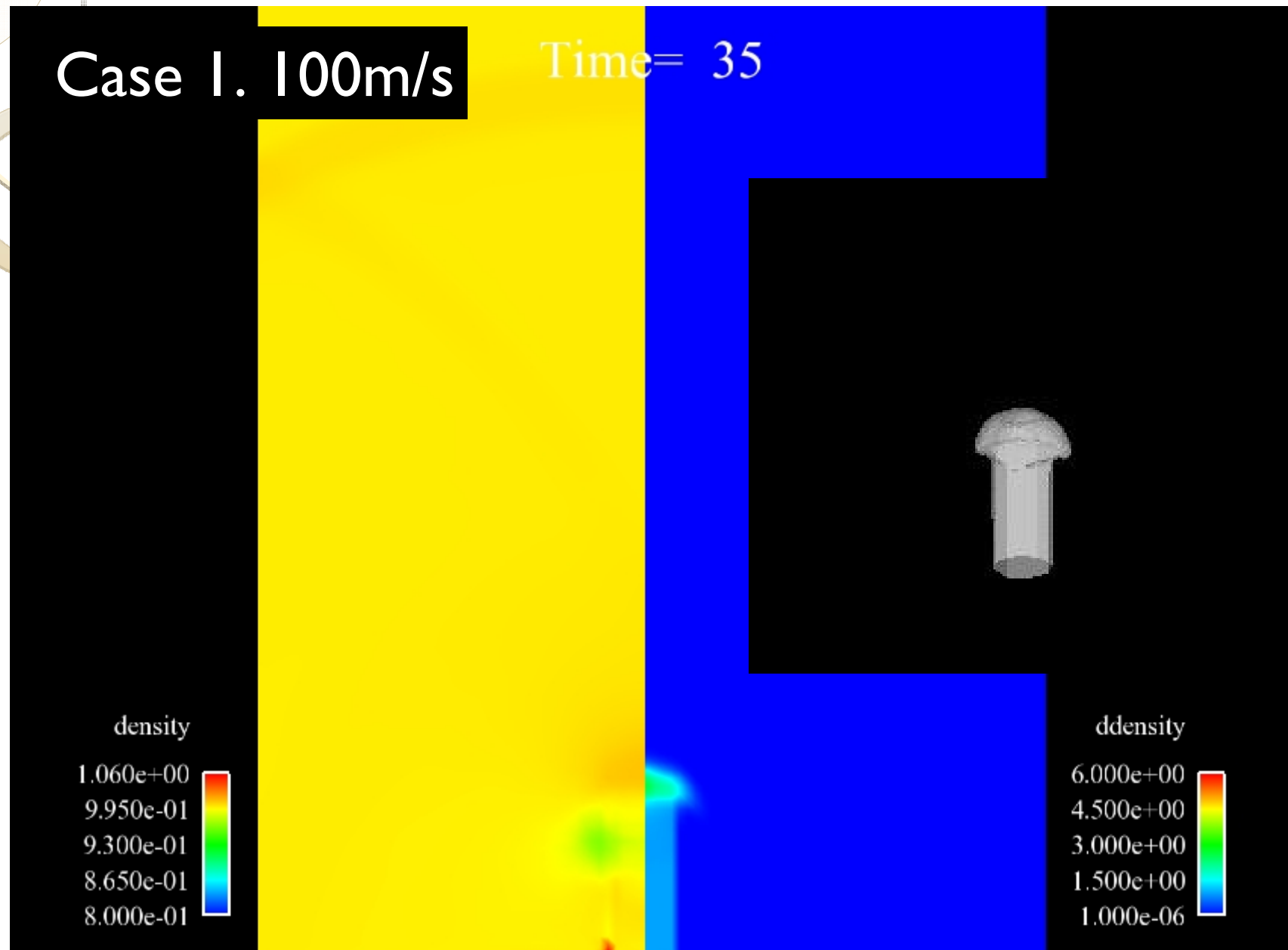


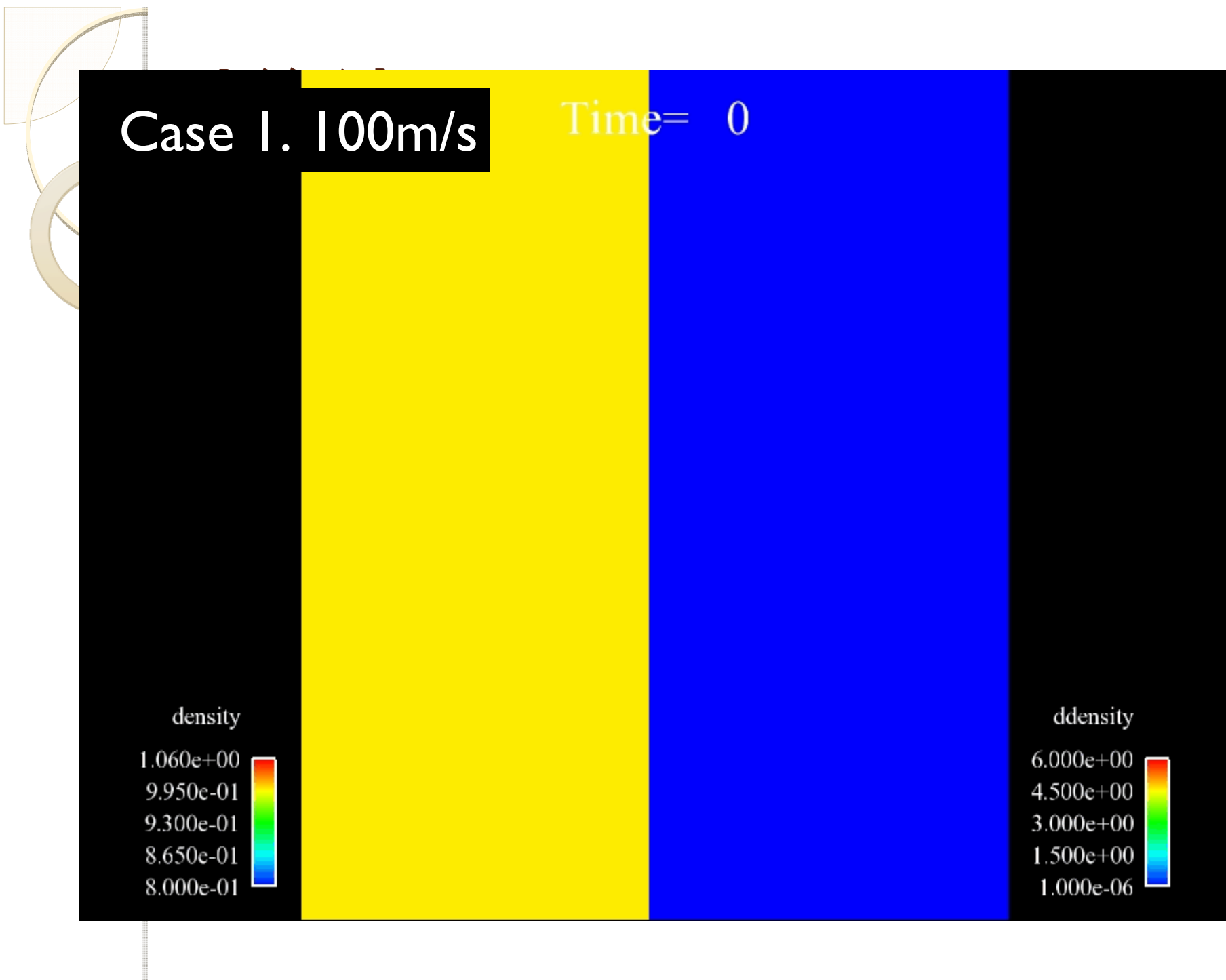




Case I. 100m/s

Time= 35

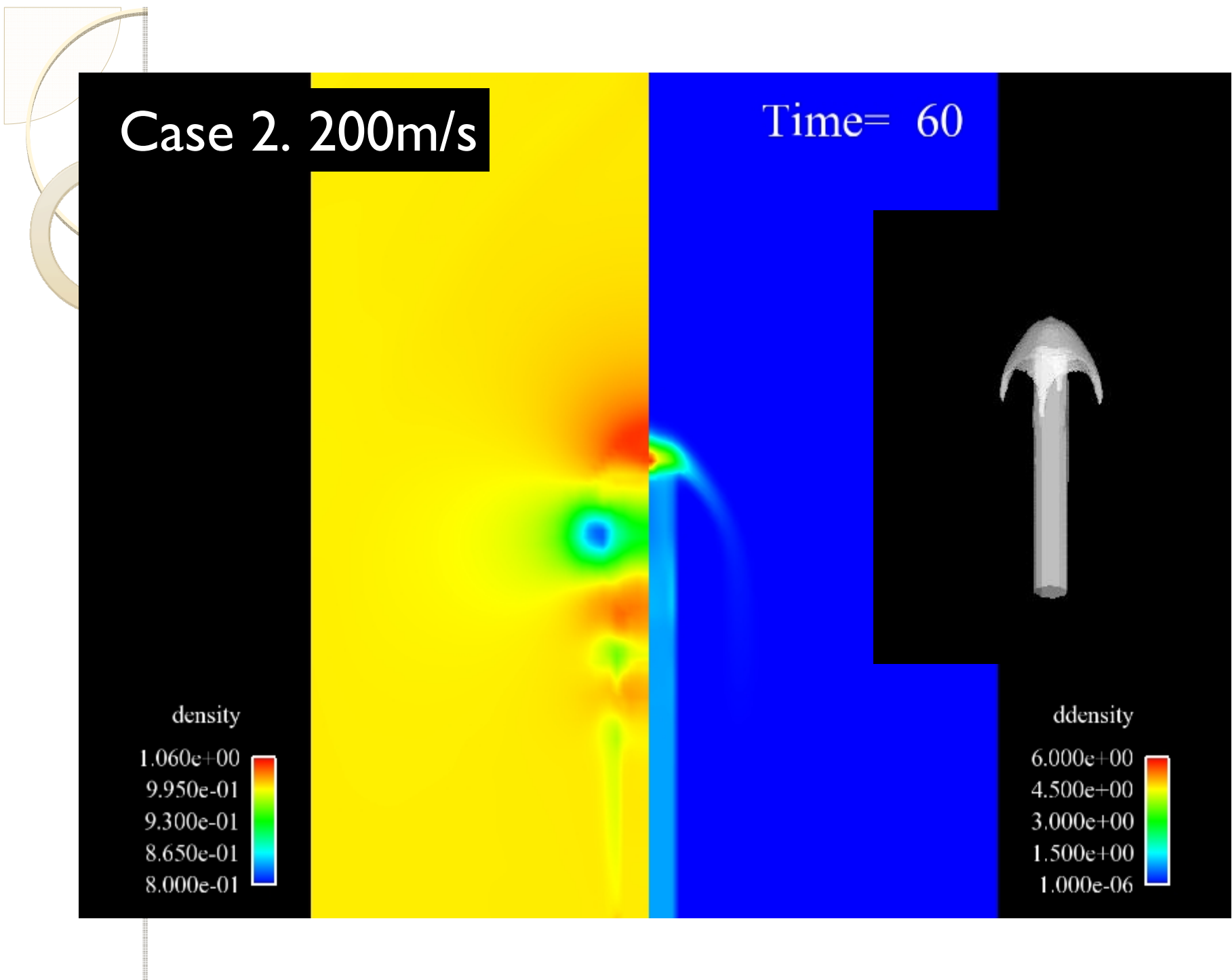


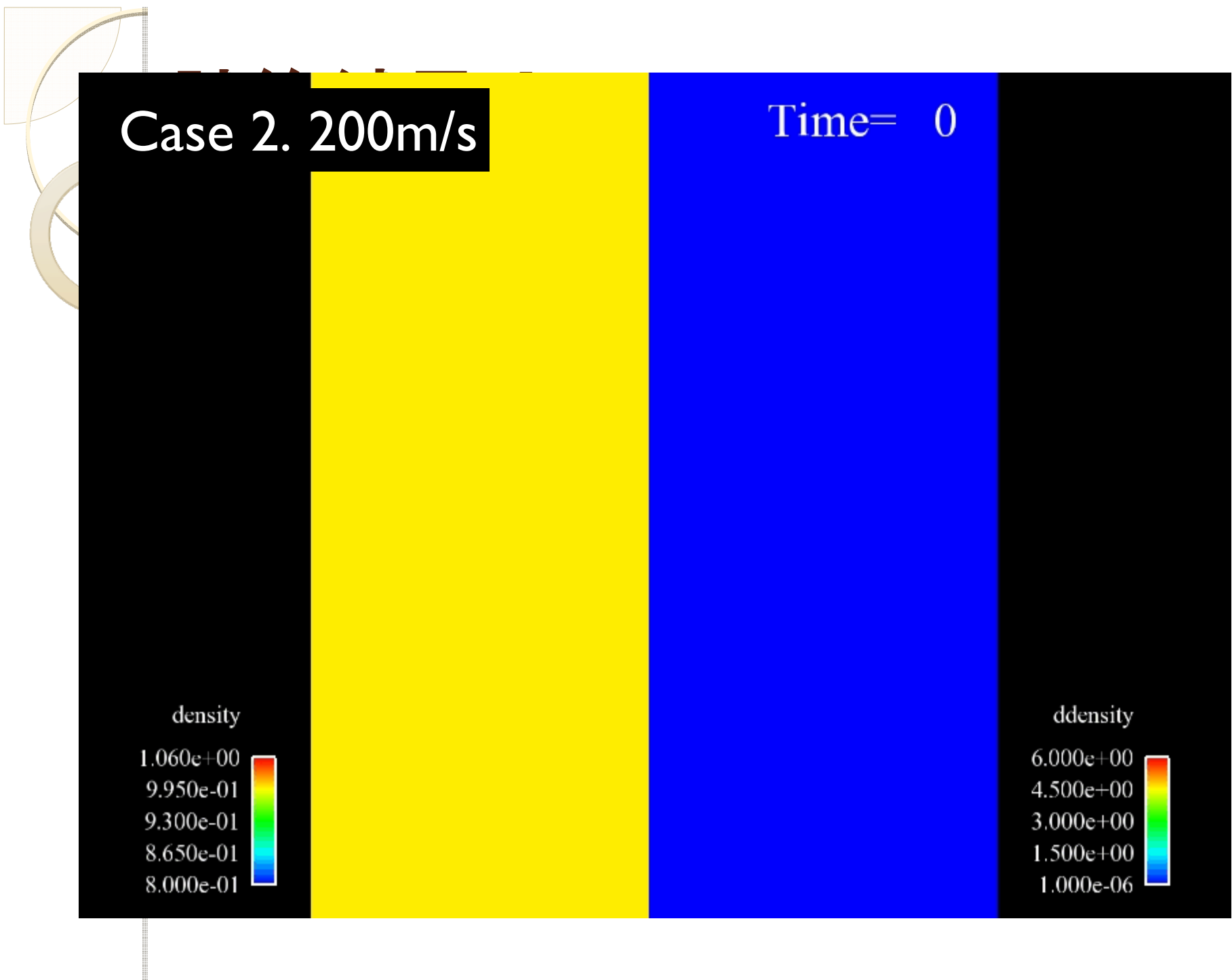


Case I. 100m/s

Time= 0







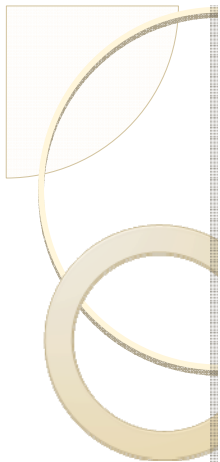


Case 1. 100m/s

Case 2. 200m/s

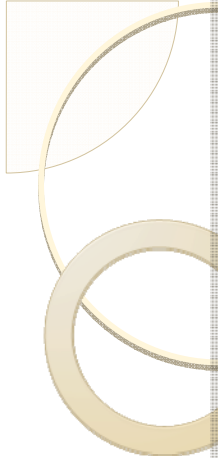
Time= 0





## まとめ

- 空間3次元固気混相流体の解析コードを開発し、噴流問題のテスト計算を行った。
- 噴流の注入による気体の渦の巻き込み流に加速され、固体粒子が高密度に分布する場が傘型に形成された。噴流速度が速い場合には複数個の気体の渦が形成され、それに伴い第二の“固体粒子の傘”が形成されつつあった。



## まとめ

- “固体粒子の傘”の直下では、固体粒子密度が不安定であった。対処法として解の修正を試みたが、その頻度が多い場合、結果は大きく破綻した。
- 不安定は、時間ステップが急激に変化する場合に生じている。時間ステップの選定方法の改良により、この不安定は回避できる（？）。